

京都大学 工学部 正員 ○田中 仁  
 東北大学 工学部 正員 首藤伊夫

1. はじめに

波動場に移成される砂建波状の渦には、従来より数多くの優れた研究が行われ、波の条件を導き出されれば形状の予測が可能である。しかし、研究の多くは次元解析に立脚しており、その発生が  $\lambda \propto \alpha \mu$  に基づき行われた研究は数少ない。そこで、本研究では砂建背後に移成される渦の大きさと砂建波長との間に、ある整合条件が存在するものと仮定し、卓越波数の理論的予測を試みる。

2. 砂建背後の渦運動の定式化

流線の場の定式化の方法は従来・山口<sup>1)</sup>、Shibayama & Horikawa<sup>2)</sup> のとおりと基本的に同様である。すなわち、

$$\text{複素速度ポテンシャル: } W(z) = \hat{U} z \sin \alpha t + \frac{P_0}{2\pi} \ln \sin \frac{\pi}{\lambda} (z - z_0) - \frac{P_0}{2\pi} \ln \sin \frac{\pi}{\lambda} (z - z_0^*) \quad (1)$$

$$\text{循環: } dP/dt = \varepsilon \int_0^{\infty} u(2y_0 - 2y_0^*) dy - c_1 P \quad (2)$$

$= 2\pi K$ ,  $z = x + iy$ ,  $\varepsilon = \alpha + i\beta$  はそれぞれ物理空間、物理空間を表わす(図1参照)。また、 $\hat{U}$ : 壁面より充分に離れた点での水平流速振幅,  $\alpha = 2\pi/T$ ,  $T$ : 周期,  $\lambda$ : 砂建波長,  $z_0$ : 渦の中心であり、\* は共役複素数を表わす。式(1)右辺の各項はそれぞれ、正負振動軌、real vortex, imaginary vortex を表わしている。また、式(2)は、循環値が砂建頂上通過による渦度流束の集積として評価され、その一部は粘性の効果により消散するとしてモデル化しなすものである。

式(2)を解くことにより循環の時間変化が求まり、また  $0 \leq t \leq T/2$  における渦が standing vortex として成長するものと仮定することにより、渦中心の位置 ( $z_0 = r_m + ir_0$ ) が定まる。結果を無次元表示して、

$$P^*(t^*) = \frac{\varepsilon \hat{U}^2}{4} \left\{ \frac{1 - e^{-c_1^* t^*}}{c_1^*} + \frac{1}{4 + c_1^{*2}} (c_1^* e^{-c_1^* t^*} - c_1^* \cos 2t^* - 2 \sin 2t^*) \right\} \quad (3)$$

$$r_0^* = \frac{\lambda^*}{4\pi} \ln \left( \frac{2\lambda^* \sin t^* + \delta P^*}{2\lambda^* \sin t^* - \delta P^*} \right) \quad (4)$$

$$r_m^* = \frac{\lambda^*}{2\pi} \cos^{-1} \left\{ \frac{1 - \sin^2(2\pi r_0^*/\lambda^*)}{\cosh(2\pi r_m^*/\lambda^*)} \right\} \quad (5)$$

$= 2\pi K$ ,  $\varepsilon$ : vorticity fraction 係数,  $\hat{U}$ : 波状壁面による流速の加速の割合を示す係数であり、また  $t^* = \alpha t$ ,  $c_1^* = c_1/\alpha$ ,  $\lambda^* = \lambda/\alpha$ ,

$r_0^* = r_0/\alpha$ ,  $r_m^* = r_m/\alpha$ ,  $\delta = \hat{U}/(c_0 \alpha)$ ,  $P^* = \alpha P/\hat{U}^2$ ,  $\alpha$ : 砂建波高である。上式は既述山口<sup>1)</sup>、Shibayama & Horikawa<sup>2)</sup> より導かれた結果と同様であるが、前者は式(2)の右辺第2項を無視しており、後者は式(3)の  $c_1^*$  を関数型と定めていた。次節では  $c_1^*$  について検討する。

3. 係数  $c_1^*$  の決定

$0 \leq t^* \leq \pi$  での  $P^*$  の変化を式(3)から求めたものが図2である。ただし、式中の  $\varepsilon$ ,  $\hat{U}$  は  $K$  を用いては従来と同様に円柱に対して得られる  $\varepsilon = 0.6$ ,  $\hat{U} = 1.4$  を適用した。  $c_1^* \leq 0.01$  の場合には、式(2)で  $c_1^* = 0$  の非粘性解とほぼ一致している。また、 $c_1^*$  が大きくなると  $P^*$  のピークが早く現れ始める。

循環の実測値と図1の理論値とを比較することにより  $c_1^*$  の関数型が定まる。用いたデータは、従来・山下・栗田<sup>3)</sup>、Shibayama & Horikawa<sup>2)</sup>、津本・三村・藤辺<sup>4)</sup> によるものである。実測値と理論値の比較の一例を図3に示し

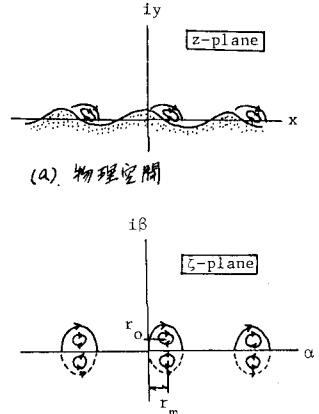


図1. 座標の定義

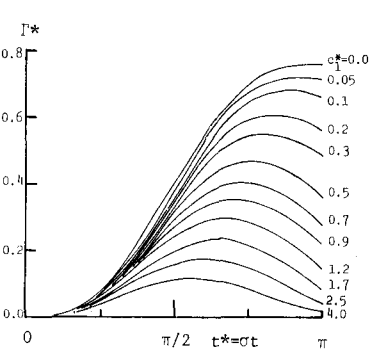


図2.  $P^*$  の変化

た。両者の一致度は必ずしも良好ではないが、ベスト・フィットを理論曲線に見出すことにより、各実験ケースに対して \$c\_i^\*\$ を定めたことができた。得られた係数 \$c\_i^\*\$ とレイノルズ数 \$\hat{U}\_w d\_0 / \nu\$ の関係を図4に示した。ここで、\$d\_0\$ : 底面水粒子軌道全振幅 (= \$2\hat{U}\_w / \omega\$), \$\nu\$ : 動粘性係数である。関係式として次式を得る。

$$c_i^* = 2.5 \{ 1 - \exp(-0.7 \times 10^{-6} \cdot \hat{U}_w d_0 / \nu) \} \quad (6)$$

#### 4. 渦と砂運の整合性

移動床二次元波動水路に底面近傍の流小り様子を観察してみると、剥離渦の長径はほぼ砂運の半波長に等しいことがわかった(図1参照)。また、ある条件のときに砂運を発生させた後、より波高の小さい波を作用させると、当初、砂運半波長より短い渦径を有する後流渦が能生する。しかし、時間が経つに従い、剥離流線の再付着点付近が狭れ始め、最終的には、やはり渦の長径の約2倍の波長を有する砂運が形成された。

以上の実験事実を踏まえ、砂運の卓越波長は、最大に成長した時点での渦の長径の2倍に等しいと仮定する。

渦は \$k^\* = \pi\$ を成長し続けたと考えられるが、この時、式(4)は発散してしまふ。ここで、\$0 \leq k^\* \leq k\_0^\*\$ を渦が成長するとし、\$k\_0^\* = 0.9\pi\$ とおく。先の卓越波長条件、\$2r\_{m1}^\* |\_{k^\*=k\_0^\*} = \lambda^\*/2\$ を用いて式(6)を変形して

$$\sinh^2(2\pi r_0^* / \lambda^*) = 1 \quad (7)$$

式(4)、(7)から \$r\_0^\*\$ を消去して次式を得る。

$$d_0 / \lambda = 2.82 \sin k_0^* / \Gamma^*(k_0^*) \quad (8)$$

式(3)、(6)、(8)より \$d\_0 / \lambda\$ と \$\hat{U}\_w d\_0 / \nu\$ の関係式を求めたものが図5である。図中には、既に提案されている波長算定式も示した。式(6)を得た際に用いたデータは \$10^4 < \hat{U}\_w d\_0 / \nu < 2 \times 10^5\$ に限られているが、式(8)から得られる曲線は、本間・堀川・鹿島<sup>5)</sup>の \$d = 0.1 - 0.2\$ mm (\$d\$ : 粒径) に対する実験データと良く一致している。

#### 5. 結論

本論文で用いた理論を用いて、波動場形成された砂運波長の予測が可能。結果は、必ずしも実験結果と完全に説明するものではないが、今後、\$E, R, c\_i^\*, k\_0^\*\$ 等の係数の性質がより明確になれば、与えて、より次元解析的かつ法的に用いられて来たる種の研究分野に対し、より決定的なアプローチが可能になるものと考えられる。非線形波動下における砂運の非対称性を予測、定常流成分が重畳した時の砂運形状予測が今後の課題である。

#### 《参考文献》

- 1) 沢本・山口, 土木学会論文集, 第288号, 1977.
- 2) Shibayama & Horikawa, Proc. J.S.C.E., No. 296, 1980.
- 3) 沢本・山下・栗田, 第29回海浜論文集, 1980.
- 4) 沢本・三村・藤江, 第29回海浜論文集, 1982.
- 5) 本間・堀川・鹿島, 第11回海浜論文集, 1974.

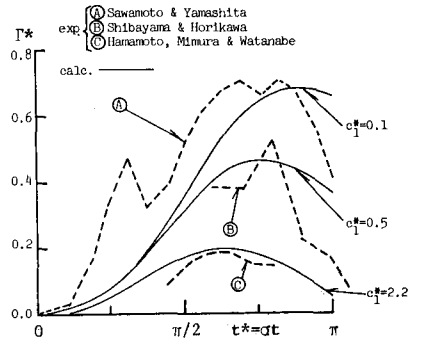


図3. 実験と理論値との比較

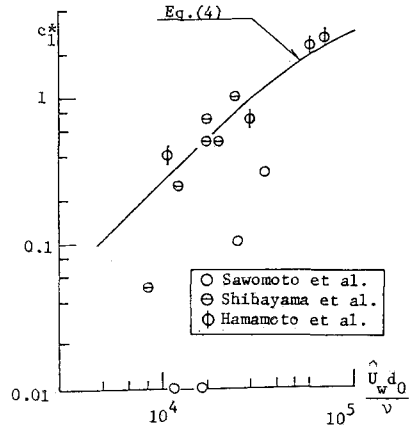


図4. 係数 \$c\_i^\*\$

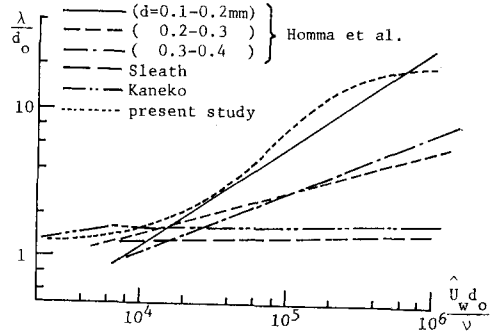


図5. 砂運波長